
Non-Standard-Datenbanken

Probabilistische Datenbanken

Prof. Dr. Ralf Möller

Universität zu Lübeck

Institut für Informationssysteme





keep learning

Presentations have been adapted from

Lifted Probabilistic Inference in Relational Models
Guy Van den Broeck, KU Leuven
Dan Suciu, U. of Washington

A TUTORIAL ON PROBABILISTIC DATABASES
Dan Suciu, U. of Washington

Top-K Query Evaluation on Probabilistic Data
Christopher Ré, Nilesh Dalvi and Dan Suciu

Open-World Probabilistic Database
Ismail İlkan Ceylan, Adnan Darwiche and Guy Van den Broeck

Weighted First-Order Model Counting (WFOMC)

Modell = Erfüllende Belegung einer aussagenlogischen Formel Δ

$\Delta = \forall d (\text{Rain}(d) \Rightarrow \text{Cloudy}(d))$

Days = {Monday
Tuesday}

Rain

d	w(R(d))	w(\neg R(d))
M	1	2
T	4	1

Cloudy

d	w(C(d))	w(\neg C(d))
M	3	5
T	6	2

Rain(M)	Cloudy(M)	Rain(T)	Cloudy(T)	Model?	Weight
T	T	T	T	Yes	1 * 3 * 4 * 6 = 72
T	F	T	T	No	0
F	T	T	T	Yes	2 * 3 * 4 * 6 = 144
F	F	T	T	Yes	2 * 5 * 4 * 6 = 240
T	T	T	F	No	0
T	F	T	F	No	0
F	T	T	F	No	0
F	F	T	F	No	0
T	T	F	T	Yes	1 * 3 * 1 * 6 = 18
T	F	F	T	No	0
F	T	F	T	Yes	2 * 3 * 1 * 6 = 36
F	F	F	T	Yes	2 * 5 * 1 * 6 = 60
T	T	F	F	Yes	1 * 3 * 1 * 2 = 6
T	F	F	F	No	0
F	T	F	F	Yes	2 * 3 * 1 * 2 = 12
F	F	F	F	Yes	2 * 5 * 1 * 2 = 20

+

#SAT = 9

+

WFOMC = 608

Gogate, V., & Domingos, P., Probabilistic Theorem Proving. Proc. UAI, 2012.

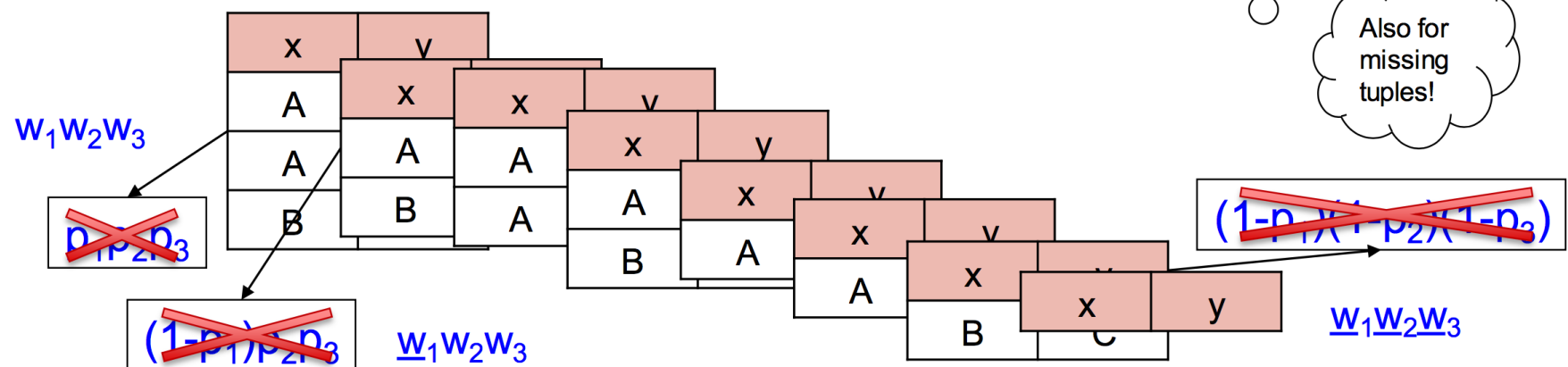
Van den Broeck, G., Taghipour, N., Meert, W., Davis, J., & De Raedt, L.,
Lifted probabilistic inference by first-order knowledge compilation.
In Proc.IJCAI-11, pp. 2178-2185, 2011.

Von Wahrscheinlichkeiten zu Gewichten

Friend		
x	y	P
A	B	p_1
A	C	p_2
B	C	p_3



x	y	$w(\text{Friend}(x,y))$	$w(\neg\text{Friend}(x,y))$
A	B	$w_1 = p_1$	$\underline{w}_1 = 1-p_1$
A	C	$w_2 = p_2$	$\underline{w}_2 = 1-p_2$
B	C	$w_3 = p_3$	$\underline{w}_3 = 1-p_3$
A	A	$w_4 = 0$	$\underline{w}_4 = 1$
A	C	$w_5 = 0$	$\underline{w}_5 = 1$
	



Intensionale Anfrageevaluation

- ProbDB D + Anfrage Q
 - Herkunftsformel (*lineage expression*) F
 - Boolesche Variablen $w_1, \underline{w}_1, \dots$
korrespondierend zu Tupeln t_1, t_2, \dots
 - Die Herkunftsformel F sagt, wann Q wahr ist
- Berechne $P(F)$ mit DPLL-artigem System

Diskussion

- Einfache Idee: Ersetze $p, 1-p$ durch w, \underline{w}
 - Gewichte nicht-notwendigerweise Wahrscheinlichkeiten
- Anfragebeantwortung durch WFOMC
 - Für Wahrscheinlichkeitsraum:
Dividiere Weltgewicht durch $Z = \text{Summe aller Weltgewichte}$
- Warum Gewichte statt Wahrscheinlichkeiten?
- Verschiedene Formalismen zur Darstellung von Wahrscheinlichkeitsverteilungen

Non-Standard-Datenbanken

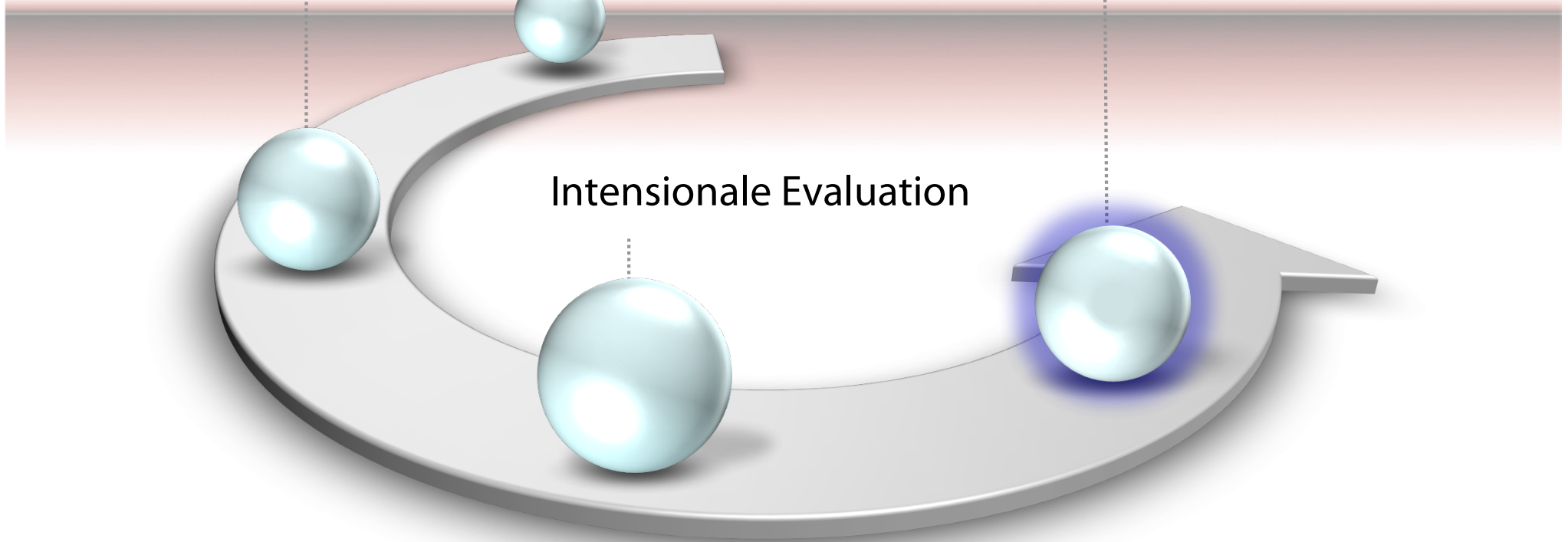
Probabilistische Datenbanken

Extensionale
Anfragebeantwortung
mit Transformation

Probabilistisches
Datenmodell

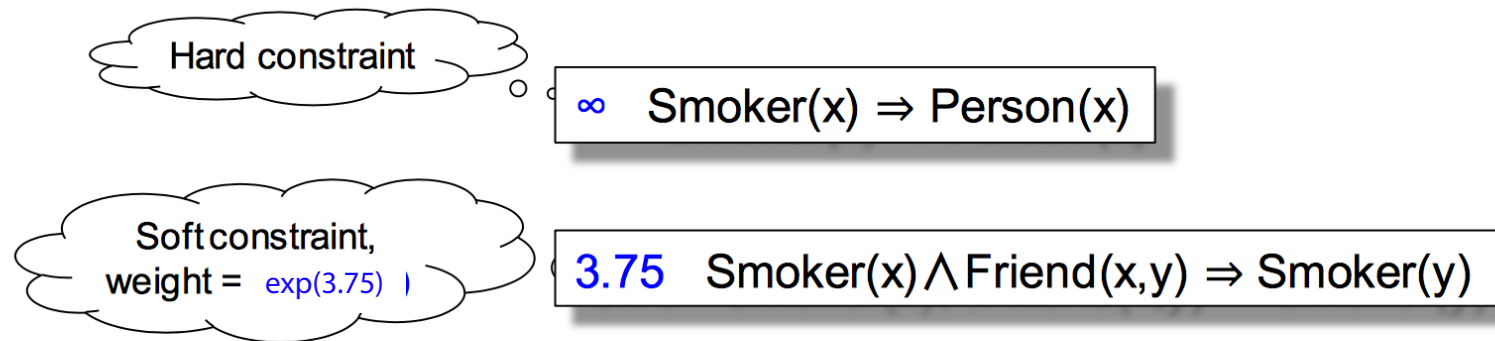
Anfragebeantwortung
bzgl. probabilistischer
Constraints

Intensionale Evaluation



Markov-Logik

Gewichtete Formeln zur Modellierung von Einschränkungen



An **MLN** is a set of constraints ($w, \Gamma(\mathbf{x})$), where w =weight, $\Gamma(\mathbf{x})$ =FO formula

Weight of a world = product of $\exp(w)$, for all **MLN** rules ($w, \Gamma(\mathbf{x})$) and grounding $\Gamma(\mathbf{a})$ that hold in that world

Probability of a world = **Weight** / Z

Z = sum of weights of all worlds (no longer a simple expression!)

Warum exp?

- Log-linear-Modelle
- Sei D eine Menge von Konstanten ...
- ... und $\omega \in \{0,1\}^m$ eine Welt mit m Atomen bzgl. D
- $weight(\omega) = \prod_{\{(w, \Gamma(x)) \in MLN \mid \exists a \in D^n : \omega \neq \Gamma(a)\}} exp(w)$
- $ln(weight(\omega)) = \sum_{\{(w, \Gamma(x)) \in MLN \mid \exists a \in D^n : \omega \neq \Gamma(a)\}} w$
 - Summe ermöglicht komponentenweise Optimierung beim Lernen der Gewichte bei gegebenen Präferenzen (Gewichte) über Welten
- $Z = \sum_{\omega \in \{0,1\}^m} ln(weight(\omega))$
- $P(\omega) = ln(weight(\omega)) / Z$

Einschub

- Gegeben:
 - Zustände, Formeln, Ereignisse,...: s_1, s_2, \dots, s_n
 - Dichte $p(s) = p_s$
- **Maximum-Entropie-Prinzip:**
 - Ohne weitere Information, wähle Dichte p_s , so dass Entropie maximiert wird

$$-\sum_s p_s(s) \log p_s(s) = -p_s \log p_s$$

- in Bezug auf Einschränkungen

$$\sum_s p_s f_i(s) = D_i, \quad \forall i$$

Einschub

- Betrachte Lagrange-Funktional zur Bestimmung von p_s

$$L = -p_s \log p_s - \sum_i \lambda_i (\sum_s p_s f_i(s) - D_i) - \mu (\sum_s p_s - 1)$$

- Partielle Ableitungen von L in Bezug auf $p_s \rightarrow$

Nullstellenbestimmung ergibt (Boltzmann-Gibbs-Dichte):

$$p_s(s) = \frac{\exp\left(-\sum_i \lambda_i f_i(s)\right)}{Z}$$

wobei Z ein geeigneter Normalisierungsfaktor ist

Anfragebeantwortungsproblem

Gegeben

MLN: $0.7 \text{ Actor}(a) \Rightarrow \neg \text{Director}(a)$
 $1.2 \text{ Director}(a) \Rightarrow \neg \text{WorkedFor}(a,b)$
 $1.4 \text{ InMovie}(m,a) \wedge \text{WorkedFor}(a,b) \Rightarrow \text{InMovie}(m,b)$

Datenbanktabellen (wenn fehlend $w=1$)

Actor:

Name	w
Brando	2.9
Cruise	3.8
Coppola	1.1

WorkedFor:

Actor	Director	w
Brando	Coppola	2.5
Coppola	Brando	0.2
Cruise	Coppola	1.7

Berechne

$P(\text{InMovie}(\text{GodFather}, \text{Brando})) = ??$

Z-Berechnung

1. Formula Δ

If all MLN constraints are hard: $\Delta = \bigwedge_{(\infty, \Gamma(\mathbf{x})) \in \text{MLN}} (\forall \mathbf{x} \Gamma(\mathbf{x}))$

If $(w_i, \Gamma_i(\mathbf{x}))$ is a soft MLN constraint, then:

- Remove $(w_i, \Gamma_i(\mathbf{x}))$ from the MLN
- Add new probabilistic relation $F_i(\mathbf{x})$
- Add hard constraint $(\infty, \forall \mathbf{x} (F_i(\mathbf{x}) \leftrightarrow \Gamma_i(\mathbf{x})))$

2. Weight function $w(\cdot)$

For all constants \mathbf{A} , relations F_i ,
set $w(F_i(\mathbf{A})) = \exp(w_i)$, $w(\neg F_i(\mathbf{A})) = 1$

Theorem: $Z = \text{WFOMC}(\Delta)$

Van den Broeck, G., Meert, W., & Darwiche, A.,. Skolemization for weighted first-order model counting. In Proc. KR-13, 2013.

Jha, A., & Suciu, D.,. Probabilistic databases with MarkoViews. Proceedings of the VLDB Endowment, 5(11), 1160-1171, 2012.

Beispiel

1. Formula Δ

$$\infty \text{ Smoker}(x) \Rightarrow \text{Person}(x)$$

$$3.75 \text{ Smoker}(x) \wedge \text{Friend}(x,y) \Rightarrow \text{Smoker}(y)$$

$$\Delta = \forall x (\text{Smoker}(x) \Rightarrow \text{Person}(x)) \\ \wedge \forall x \forall y (\text{F}(x,y) \Leftrightarrow [\text{Smoker}(x) \wedge \text{Friend}(x,y) \Rightarrow \text{Smoker}(y)])$$

2. Weight function $w(.)$

F

x	y	$w(\text{F}(x,y))$	$w(\neg\text{F}(x,y))$
A	A	$\exp(3.75)$	1
A	B	$\exp(3.75)$	1
A	C	$\exp(3.75)$	1
B	A	$\exp(3.75)$	1
	

Note: if no tables given for Smoker, Person, etc, (i.e. no evidence) then set their $w = \underline{w} = 1$

$$Z = \text{WFOMC}(\Delta)$$

Weighted First-Order Model Counting

Modell = Erfüllende Belegung einer aussagenlogischen Formel Δ

$$\Delta = \forall d (\text{Rain}(d) \Rightarrow \text{Cloudy}(d))$$

Days = {Monday
Tuesday}

Rain

d	$w(\text{R}(d))$	$w(\neg\text{R}(d))$
M	1	2
T	4	1

Cloudy

d	$w(\text{C}(d))$	$w(\neg\text{C}(d))$
M	3	5
T	6	2

Rain(M)	Cloudy(M)	Rain(T)	Cloudy(T)	Model?	Weight
T	T	T	T	Yes	$1 * 3 * 4 * 6 = 72$
T	F	T	T	No	0
F	T	T	T	Yes	$2 * 3 * 4 * 6 = 144$
F	F	T	T	Yes	$2 * 5 * 4 * 6 = 240$
T	T	T	F	No	0
T	F	T	F	No	0
F	T	T	F	No	0
F	F	T	F	No	0
T	T	F	T	Yes	$1 * 3 * 1 * 6 = 18$
T	F	F	T	No	0
F	T	F	T	Yes	$2 * 3 * 1 * 6 = 36$
F	F	F	T	Yes	$2 * 5 * 1 * 6 = 60$
T	T	F	F	Yes	$1 * 3 * 1 * 2 = 6$
T	F	F	F	No	0
F	T	F	F	Yes	$2 * 3 * 1 * 2 = 12$
F	F	F	F	Yes	$2 * 5 * 1 * 2 = 20$

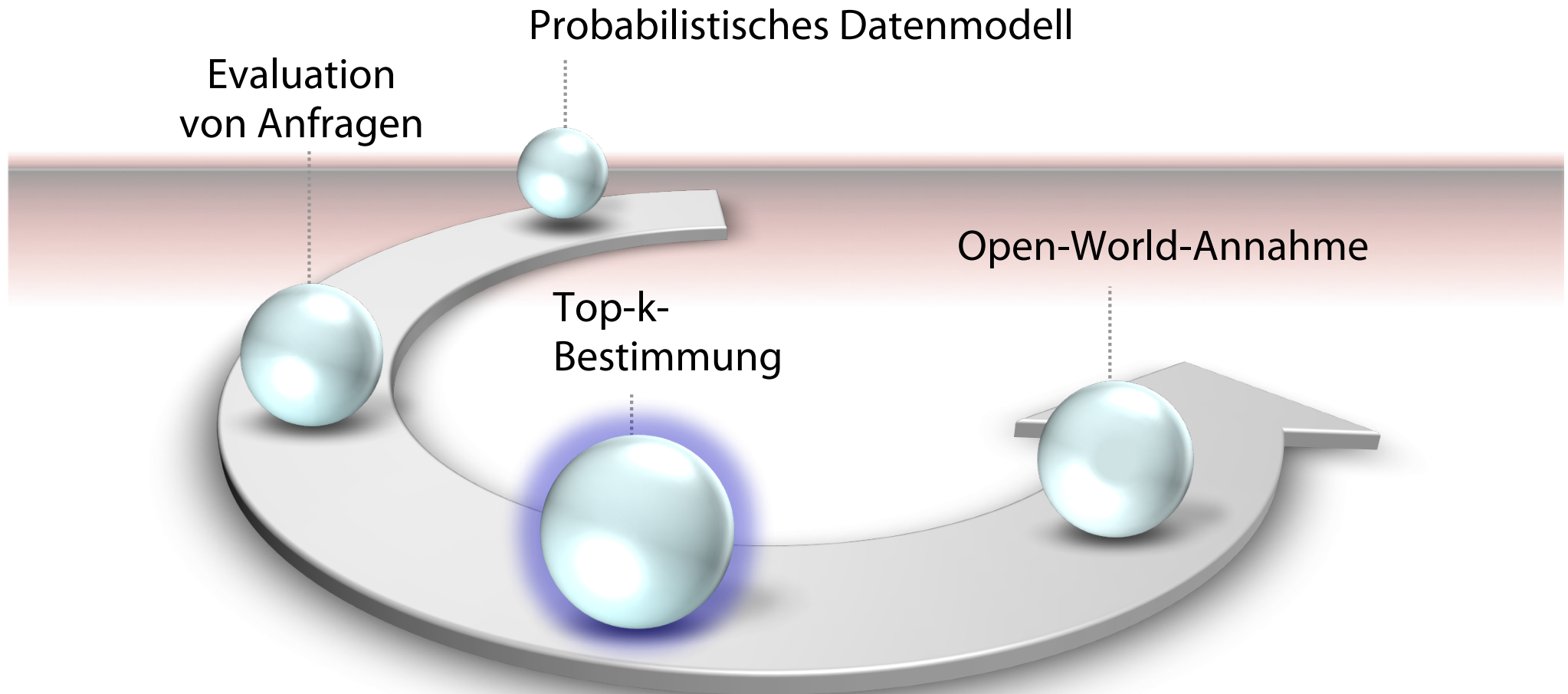
+ #SAT = 9 + WFOMC = 608

Gogate, V., & Domingos, P. Probabilistic theorem proving. Proc. UAI, 2012.

Van den Broeck, G., Taghipour, N., Meert, W., Davis, J., & De Raedt, L., Lifted probabilistic inference by first-order knowledge compilation. In Proc. IJCAI-11, pp. 2178-2185, 2011.

Non-Standard-Datenbanken

Probabilistische Datenbanken



Top-K Query Evaluation on Probabilistic Data

Christopher Ré, Nilesh Dalvi and Dan Suciu

Google-Patent ☹

Publication number	US7814113 B2
Publication type	Grant
Application number	US 11/935,230
Publication date	12 Oct 2010
Filing date	5 Nov 2007
Priority date ?	7 Nov 2006
Fee status ?	Paid
Also published as	US20080109428
Inventors	Dan Suciu, Christopher Re
Original Assignee	University Of Washington Through Its Center For Commercialization
Export Citation	BiBTeX , EndNote , RefMan
Patent Citations (7), Non-Patent Citations (3), Referenced by (9), Classifications (6), Legal Events (4)	
External Links: USPTO , USPTO Assignment , Espacenet	

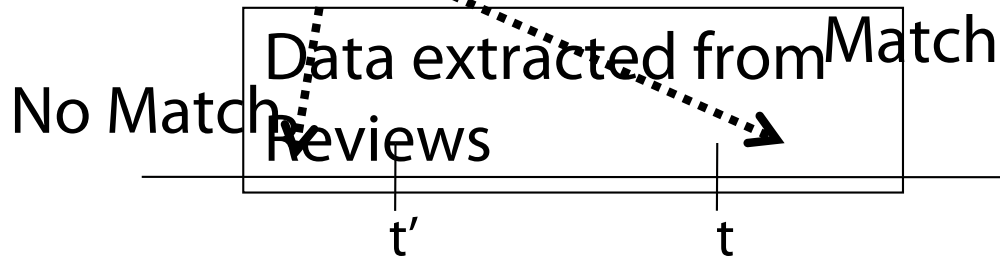


Unschärfe ist überall...

RID	Title
r124	12 Monkeys
r155	Twelve Monkeys
r175	2 Monkey
r194	Monk

MID	Title
m232	12 Monkeys
m143	Monkey Love

Fellegi-Sunter-Ansatz:
 Score für jedes (RID, MID)



Clean IMDB Data

Our Approach:
 Output (RID, MID) pairs
 Convert scores to probabilities

Unschärfe ist überall...

RID	Title
r124	12 Monkeys
r155	Twelve Monkeys
r175	2 Monkey
r194	Monk

MID	Title
m232	12 Monkeys
m143	Monkey Love

Fellegi-Sunter-Ansatz:

Score für jedes (RID,MID)

No Match

Match



RID	MID	Prob
r175	m232	0.8
r175	m143	0.2

Anfragebeantwortung mit Herkunftsformel

- Intensionale Anfragebeantwortung [FR97]
- Assoziiere mit jedem Tupel ein Ereignis

RID	MID	Prob	
r175	m232	0.8	e_1
r175	m143	0.2	e_2

- Wahrscheinlichkeit, dass Ereignis eintritt / erfüllt ist = Anfragewert
- Anfrageverarbeitung generiert Ereignisausdruck

$\times((t_1, [e_1]), (t_2, [e_2]))$	$= ((t_1, t_2), [e_1 \wedge e_2])$
$\sigma_c((t, [e]))$	$= \begin{cases} (t, [e]) & c(t) = \text{true} \\ \perp & c(t) = \text{false} \end{cases}$
$\Pi_A((t_1, [e_1]), \dots, (t_n, [e_n]))$	$= (t_1[A], [e_1 \vee \dots \vee e_n])$

Projektion sorgt für DNF



Problemdefinition

Gegeben: $G = \{t_1, \dots, t_n\}$ eine Menge von n Objekten mit unbekanntem Wahrscheinlichkeiten p_1, \dots, p_n und eine Zahl $k \leq n$.

Ziel: Finde Menge von k Objekten mit höchsten Wahrscheinlichkeiten, genannt Top- k -Teilmenge von G

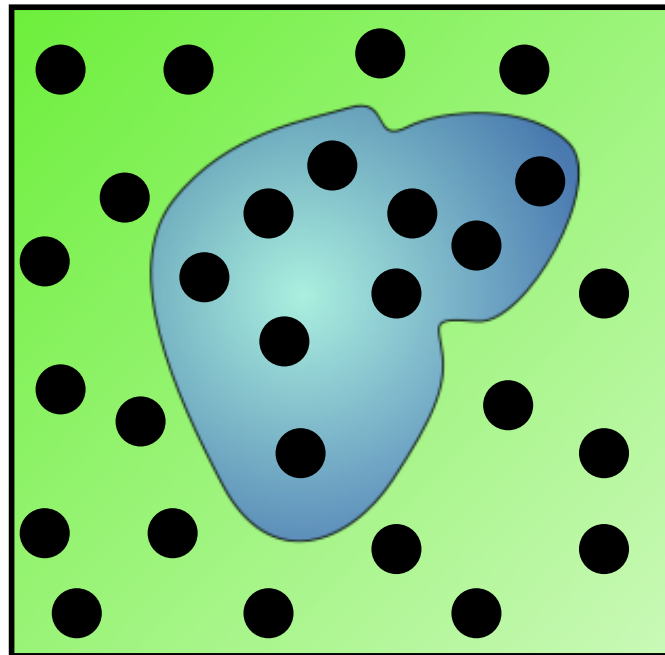
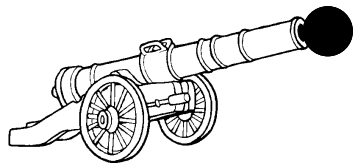
Lösungsidee: Verwende parallele **Monte-Carlo-Simulationen**, eine für jede Kandidatenantwort, und **approximiere** Wahrscheinlichkeiten nur **soweit, wie es nötig ist**, um die k besten Antworten zu finden

Monte-Carlo-Simulation: Einführung

- Gegeben: Gesamtfläche eines Landstücks (Quadrat)
- Wie kann die Fläche des darauf liegenden Sees bestimmt werden?

$\text{Fläche}_{\text{Land}} = 1000 \text{ m}^2$ (Quadrat)
 $X = \text{Anzahl Kanonenschüsse}$
 $N = \text{Einschläge auf grünem Land}$

$$\frac{\text{Fläche}_{\text{Land}}}{\text{Fläche}_{\text{See}}} = \frac{X}{X - N} \quad \Rightarrow \quad \text{Fläche}_{\text{See}} = \frac{(X - N) \times \text{Fläche}_{\text{Land}}}{X}$$



$$\text{Fläche}_{\text{See}} = 1000$$

$$\text{Fläche}_{\text{See}} = 500$$

$$\text{Fläche}_{\text{See}} = 333.\bar{3}$$

...

$$\text{Fläche}_{\text{See}} = 375$$

Monte Carlo Simulation: (ϵ, δ) -Approximation

Function **MS-Naiv**(G)

Wähle **N** mal zufällig eine mögliche Welt.

Berechne Wahrheitswert von DNF-Formel **G**.

Wahrscheinlichkeit $p=P(G)$ approximiert durch Frequenz \tilde{p} , mit der **G** wahr wird

Function **MS-Karp-Luby**(G)

Fix an order on the disjuncts: $\{t_1, t_2, \dots, t_m\} = G$

$C := 0$

repeat

 Choose a random disjunct $t_i \in G$

 Choose a random truth assignment s.t. $t_i = \text{true}$

 if forall $j < i$ it holds that $t_j = \text{false}$ then $C := C + 1$

until **N times**

return C/N

$$\tilde{p} := \text{Karp-Luby}(G) \quad \epsilon = \sqrt{4m \log(2/\delta)/N} \quad a^N = \tilde{p} - \epsilon \quad b^N = \tilde{p} + \epsilon$$

Richard M. Karp, Michael Luby, Monte-Carlo Algorithms for Enumeration and Reliability Problems. FOCS: 56-64, **1983**.

Paul Dagum, Richard M. Karp, Michael Luby, Sheldon M. Ross: An Optimal Algorithm for Monte Carlo Estimation. SIAM J. Comput. 29(5): 1484-1496, **2000**.

IM FOCUS DAS LEBEN

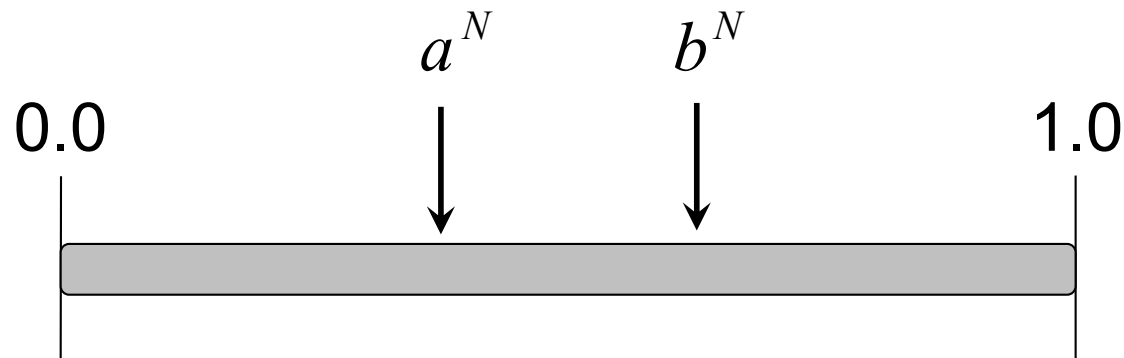


Karp-Luby

Nach N Simulationen garantiert:

$$\mathbf{P}(p \in [a^N, b^N]) > 1 - \delta \quad \text{Konfidenzintervall}$$

Die Sicherheit reduziert die Diskretisierbarkeit



Anfragebeantwortung

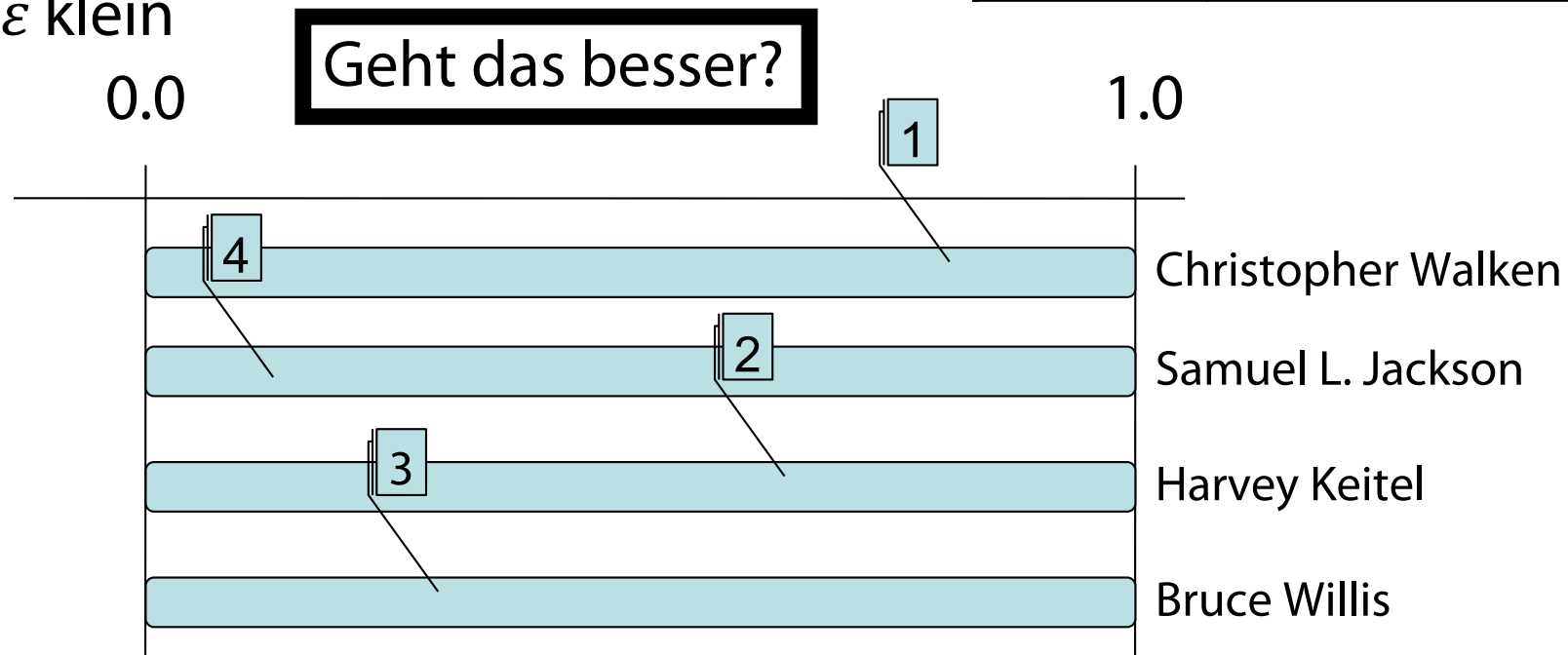
Anfrage: Finde Top-k Regisseure von guten Filmen (Score ≥ 4)

NB: Ranking nach P-Werten

Verfahren: Simuliere für jeden Kandidaten mit Karp-Luby bis ϵ klein

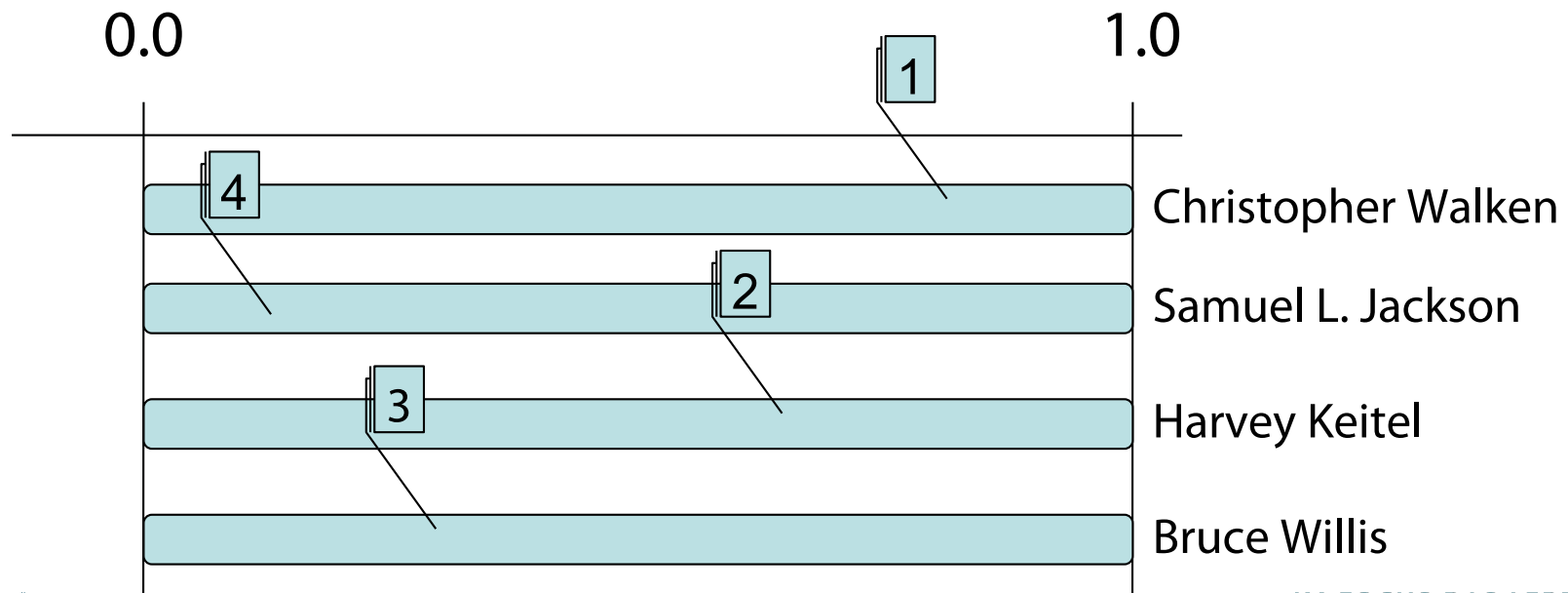
MID	Director
m232	Christopher Walken
...	...

RID	Score
r157	4
...	...



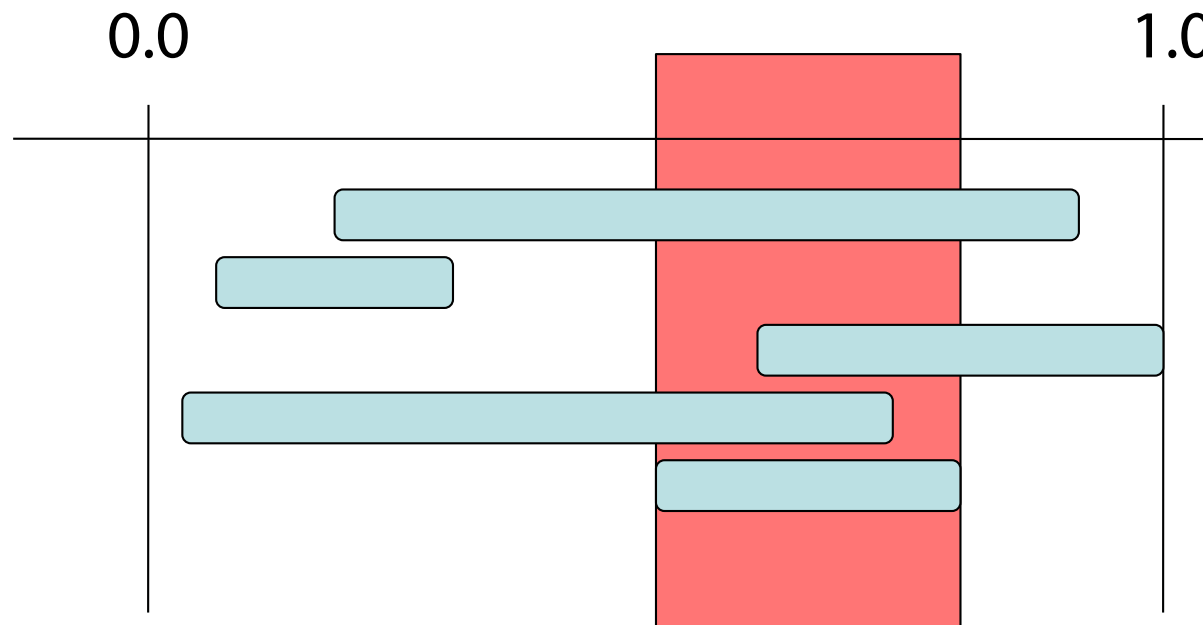
Besseres Verfahren: Multisimulation

- Trenne Top-K mit wenigen Simulationen
 - Betrachte Intervalle im Top-k-Bereich
 - Am Ende: Intervalle verschränkt
- Vergleich mit imaginärem Verfahren *OPT*
 - “Weiß” welche Intervall betrachtet werden müssen



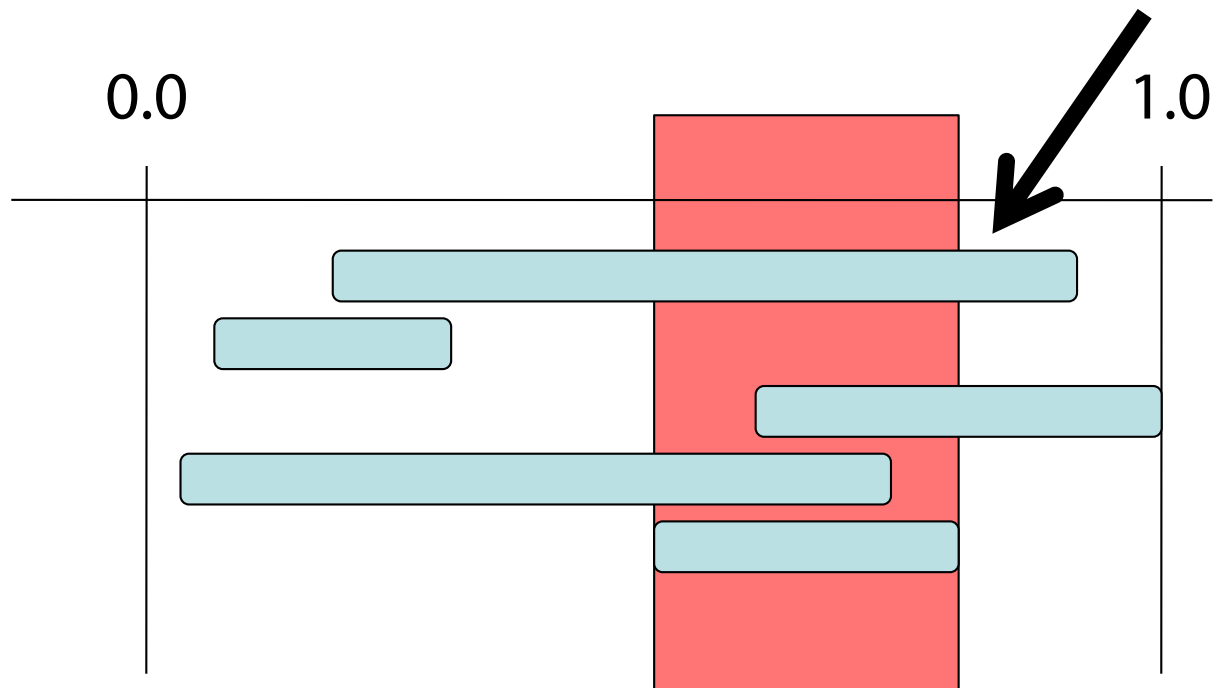
Die kritische Region

- Die kritische Region ist das Intervall
 - (k-höchste Min, k+1-höchste Max)
 - Für $k = 2$



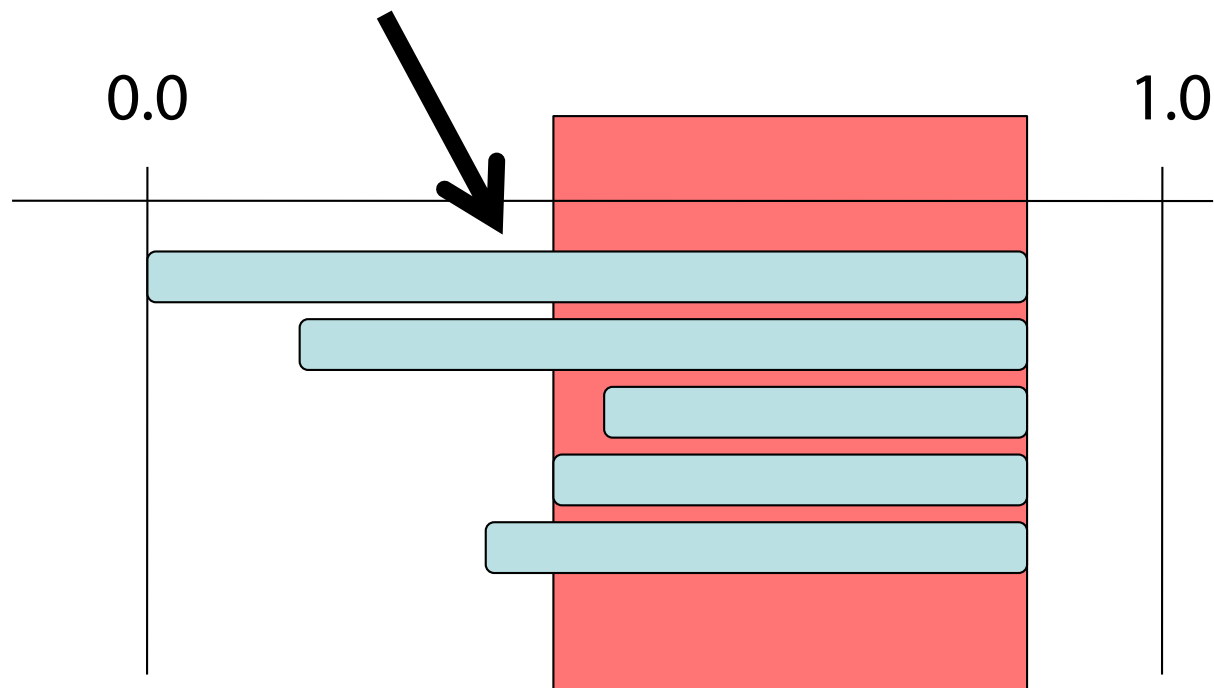
Drei einfache Regeln: Regel 1

- Wähle "Double Crosser"
 - *OPT* muss dieses Intervall auch wählen



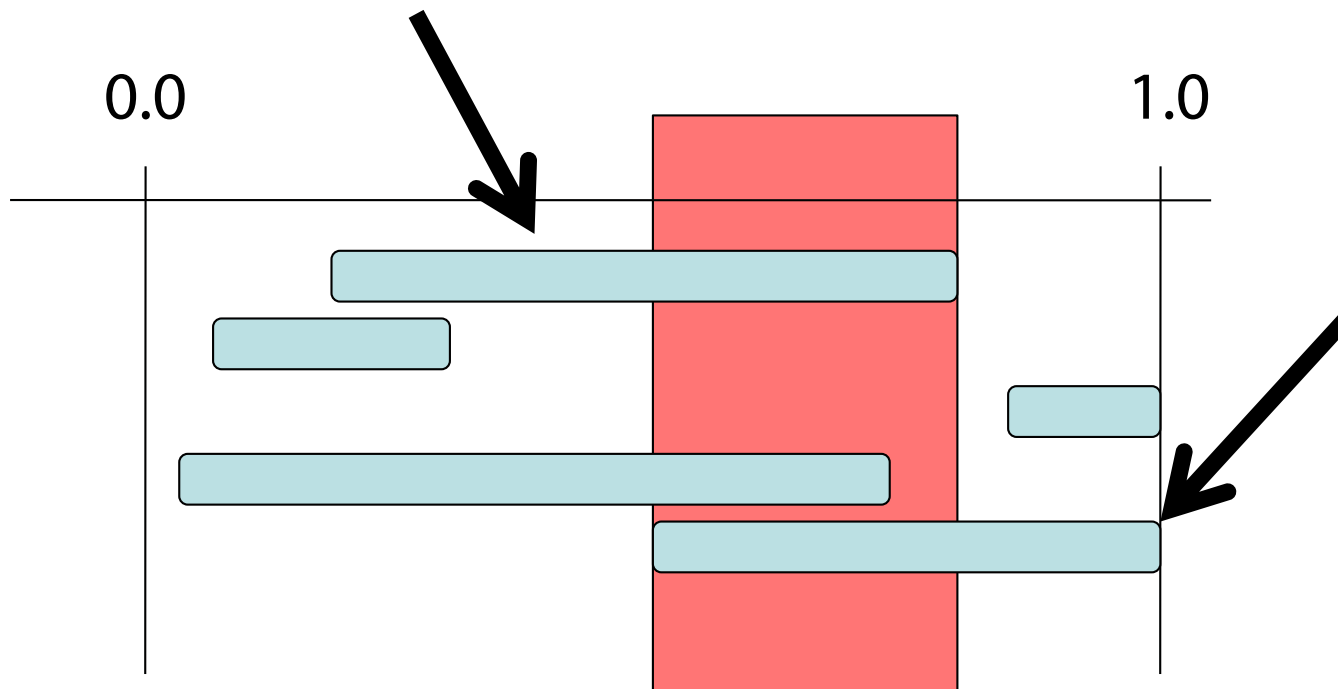
Drei einfache Regeln: Regel 2

- Nur noch "Lower/Upper Crosser"?
dann wähle maximale Intervall
 - *OPT* muss das auch machen



Drei einfache Regeln: Regel 3

- Wähle Upper- und Lower-Crosser
 - *OPT* könnte nur ein Intervall wählen



Multisimulation (MS)

function $MS_TopK(\{G_1, \dots, G_n\}, k)$:

$[a_1, b_1] := \dots := [a_n, b_n] = [0, 1]$

repeat

$(c, d) := (\text{topk}(a_1, \dots, a_n), \text{topk}+1(b_1, \dots, b_n))$

$T := \{G_i \mid d \leq a_i\}$

$B := \{G_i \mid b_i \leq c\}$

Case 1: choose a double crosser to simulate(T, B)

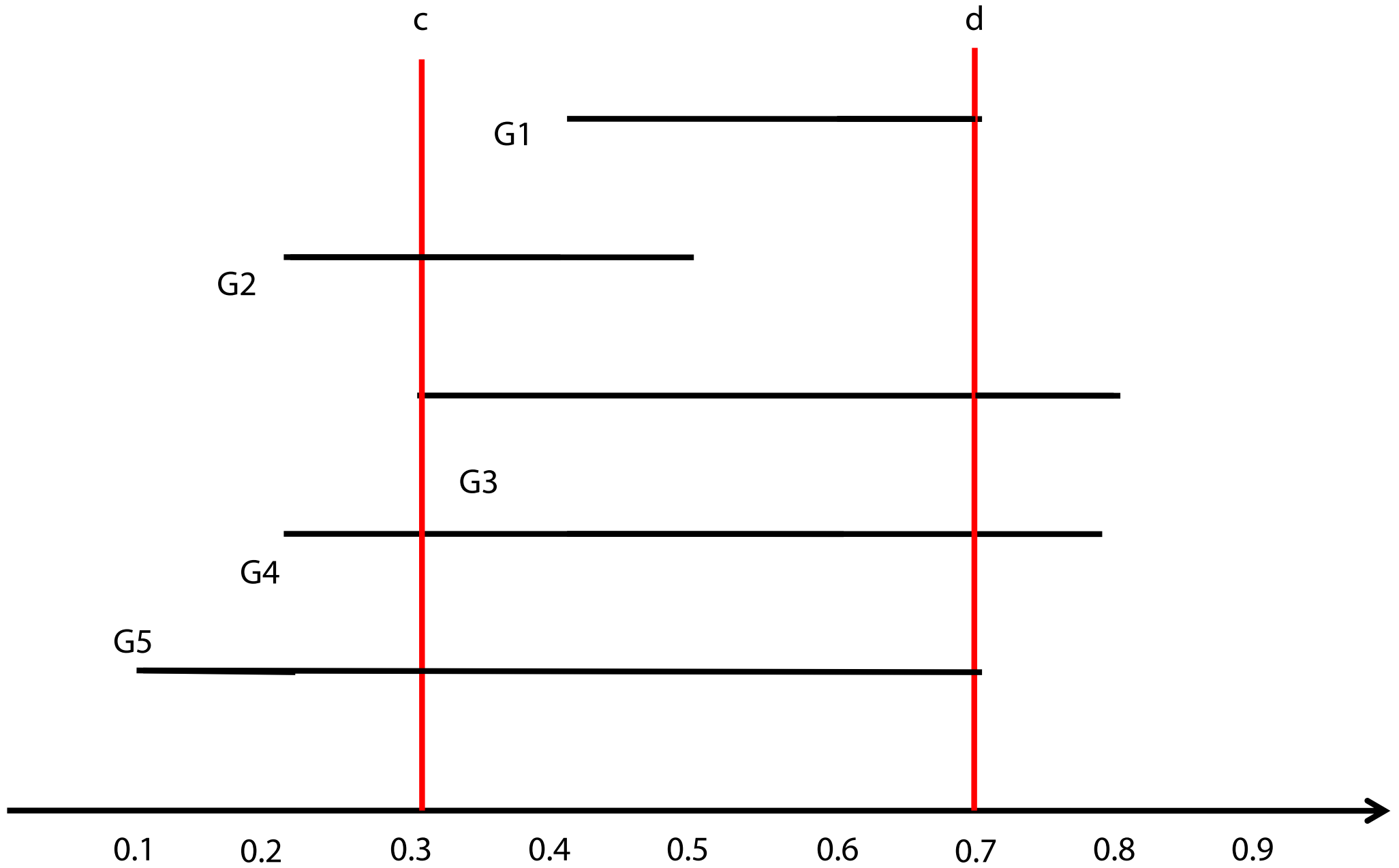
Case 2: choose upper and lower crosser to simulate(T, B)

Case 3: choose a maximal crosser to simulate(T, B)

until $c > d$

return T

Example : Let us select Top 2

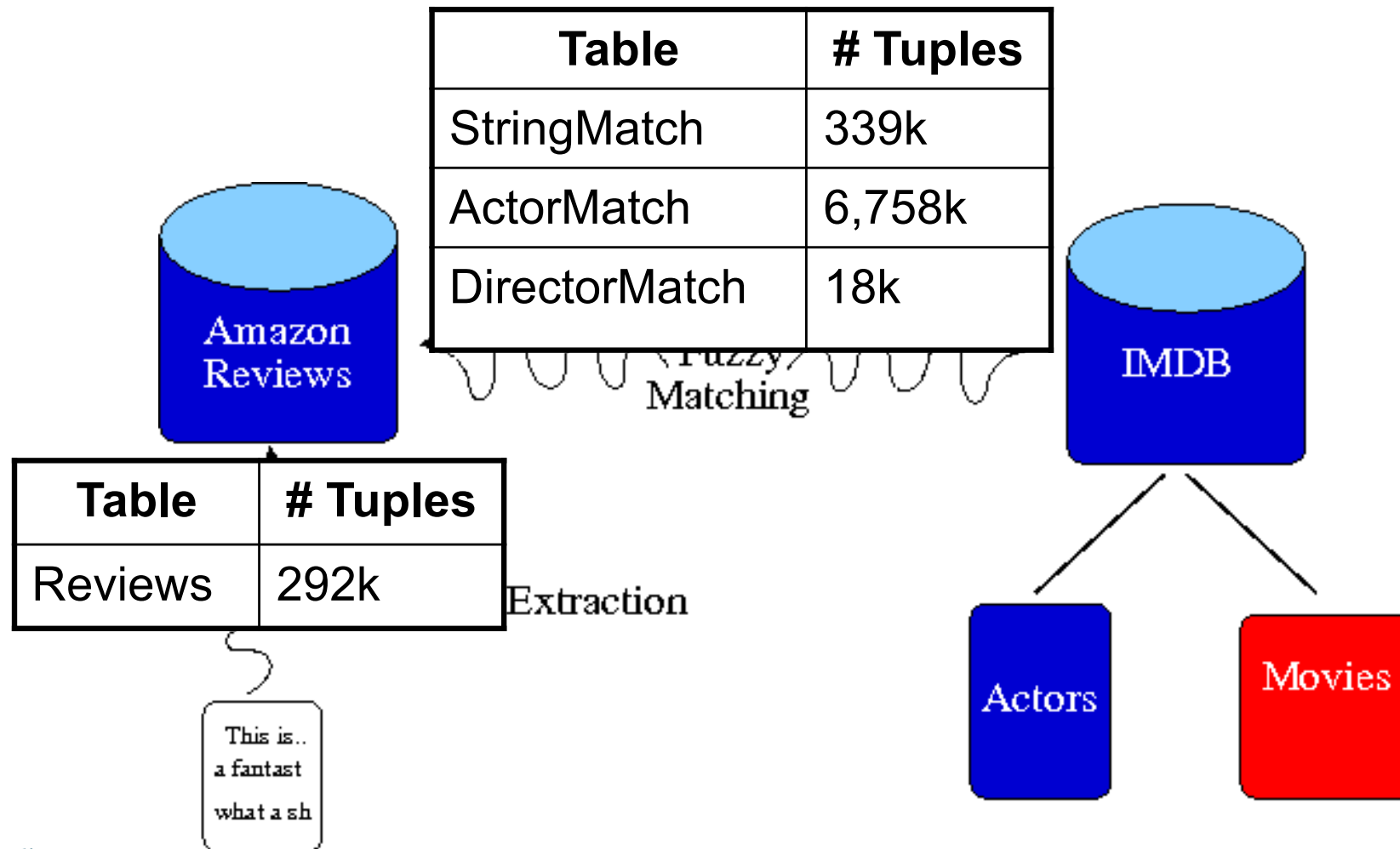


Multisimulation ist 2-approximierend

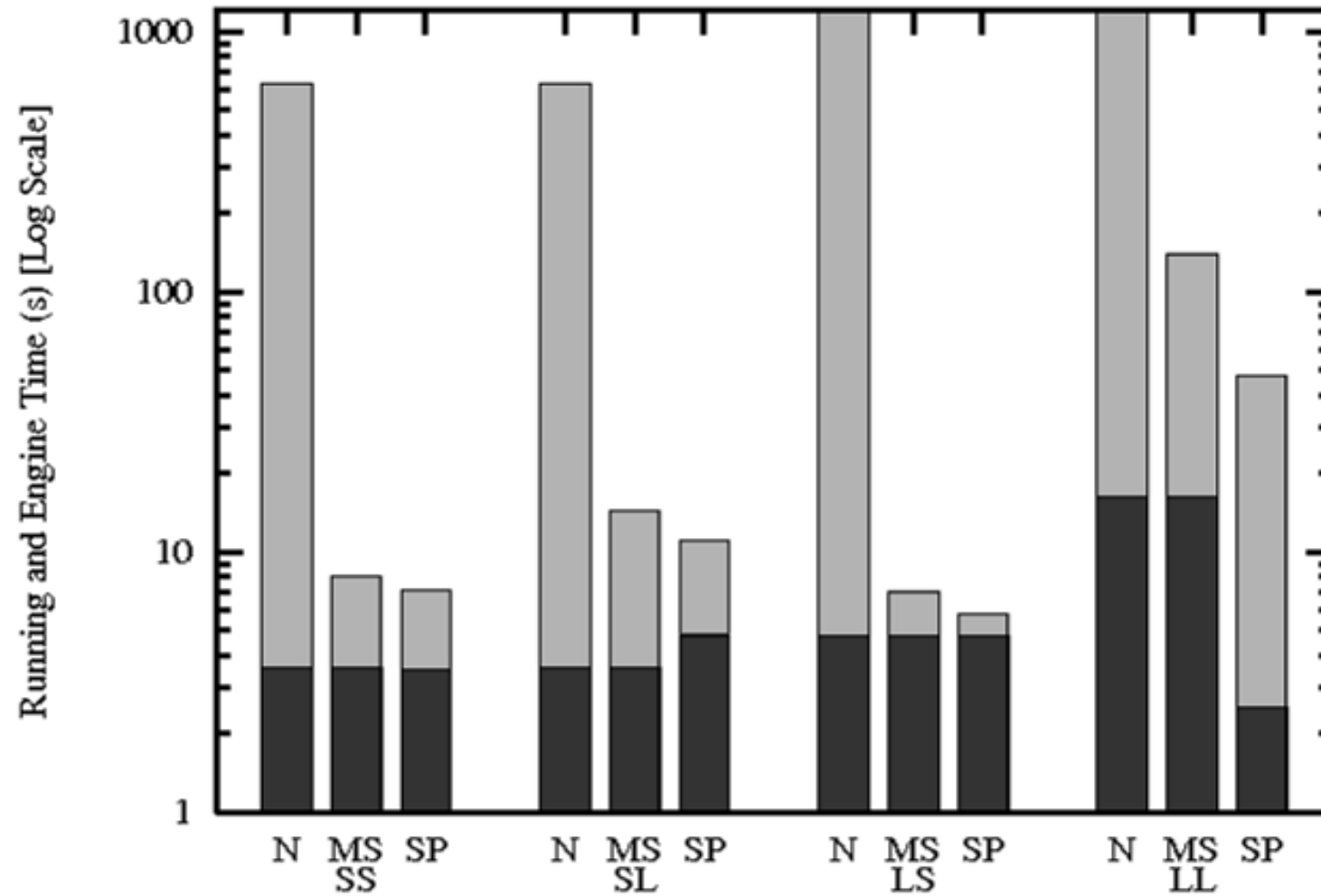
- Theorem [DS07]: Multisimulation führt höchstens zweimal so viele Simulationen aus wie OPT
 - Und: kein deterministischer Algorithmus kann auf beliebigen Probleminstanzen besser arbeiten
- Varianten
 - Top-k-Menge (gezeigt)
 - Anytime (produziere von 1 bis k)
 - Rang (produziere top-k nach Rang sortiert)
 - Alle (alle Intervalle nach Rang sortiert)



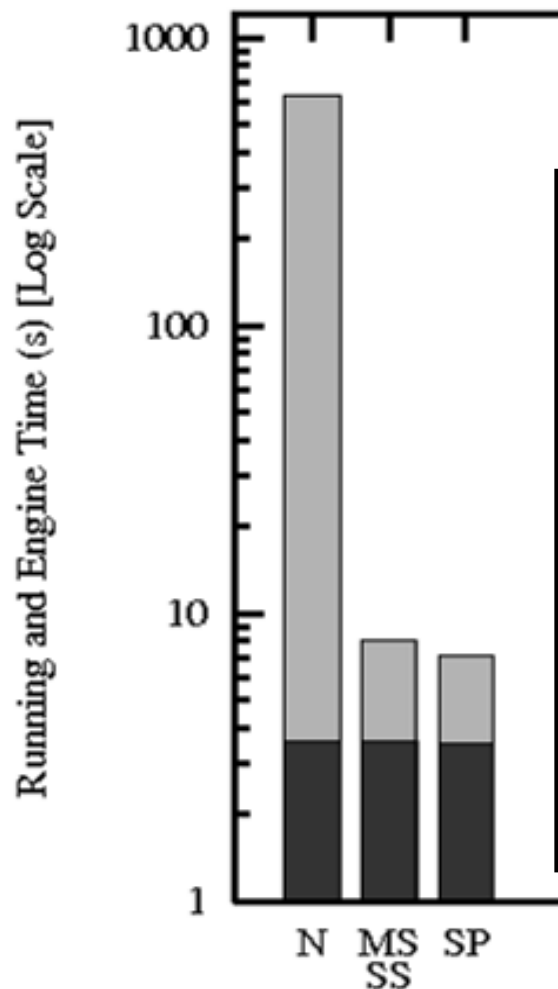
Experimente: Unsichere Tupel



Laufzeiten [N(aiv), MS, and S(afe) P(lan)]



Laufzeiten



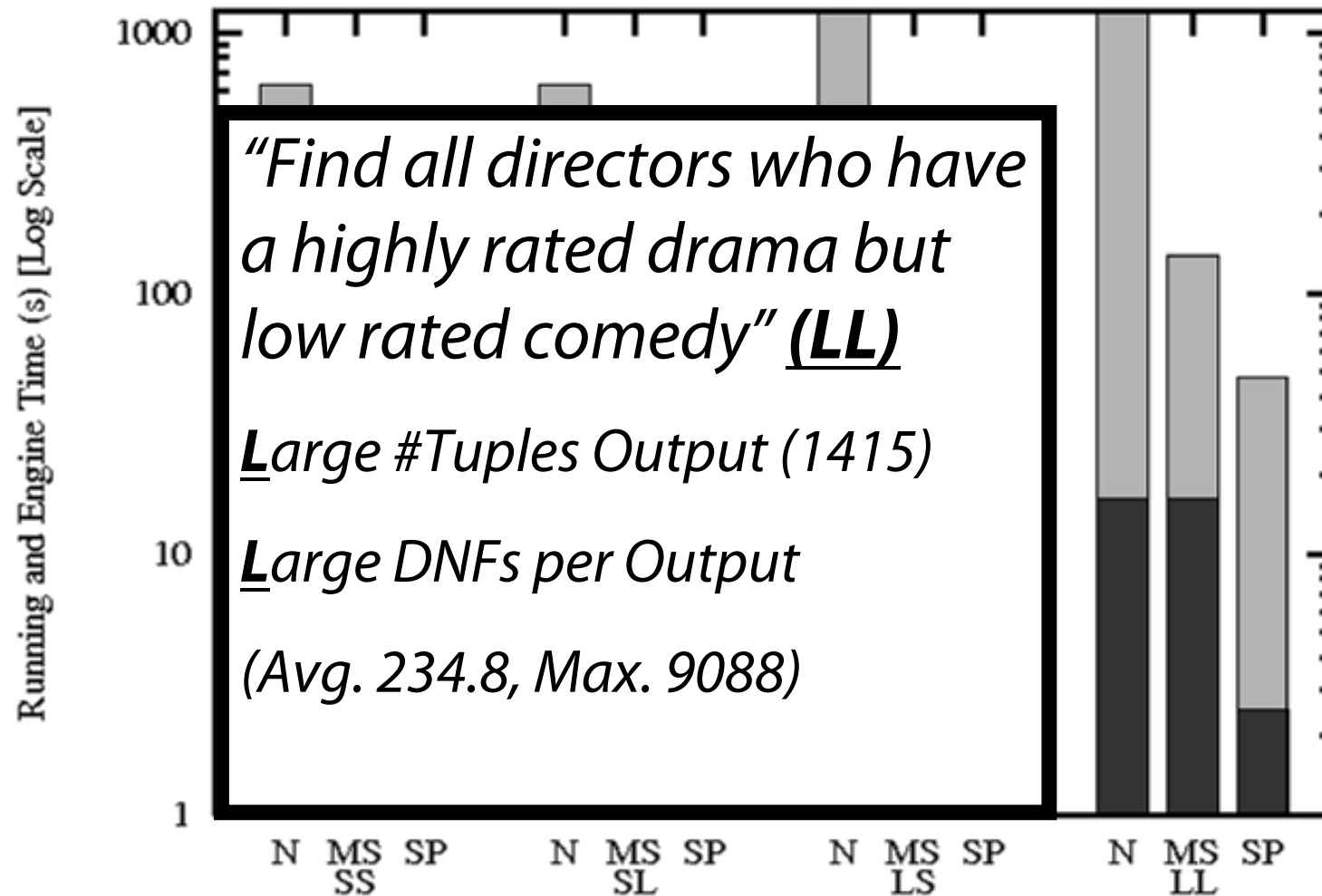
“Find all years in which Anthony Hopkins was in a highly rated movie”
(SS)

Small Number of Tuples Output (33)

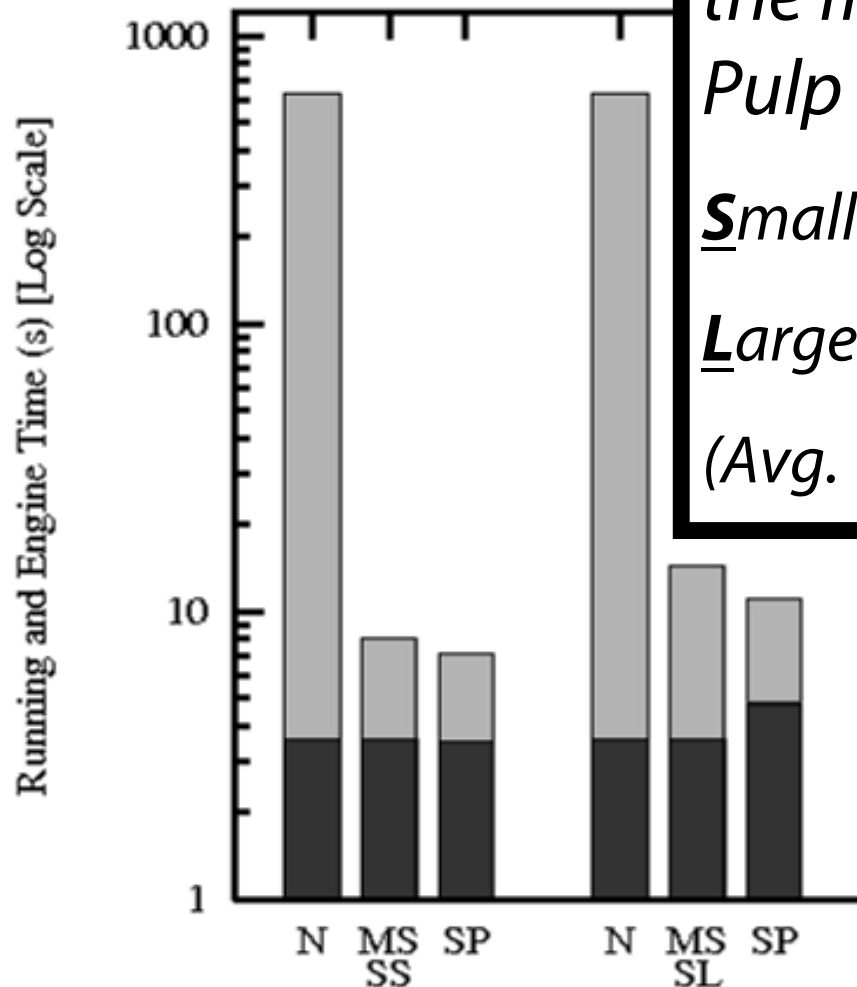
Small DNFs per Output

(Avg. 20.4, Max 63)

Laufzeiten



Laufzeiten



*“Find all actors in Pulp Fiction who appeared in two very bad movies in the five years before appearing in Pulp Fiction” **(SL)***

***S**mall Number of Tuples Output (33)*

***L**arge DNFs per Output*

(Avg. 117.7, Max 685)

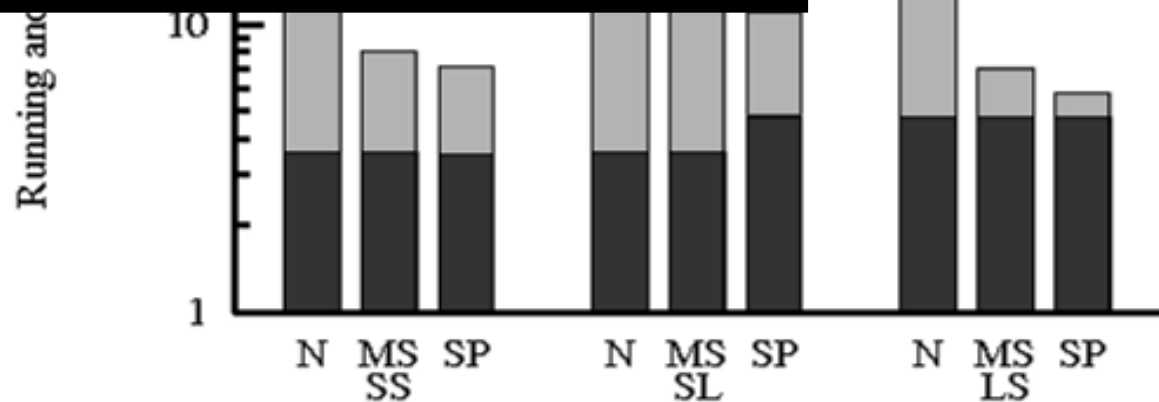
Laufzeiten

*“Find all directors in the 80s who had a highly rated movie” **(LS)***

***L**arge #Tuples Output (3259)*

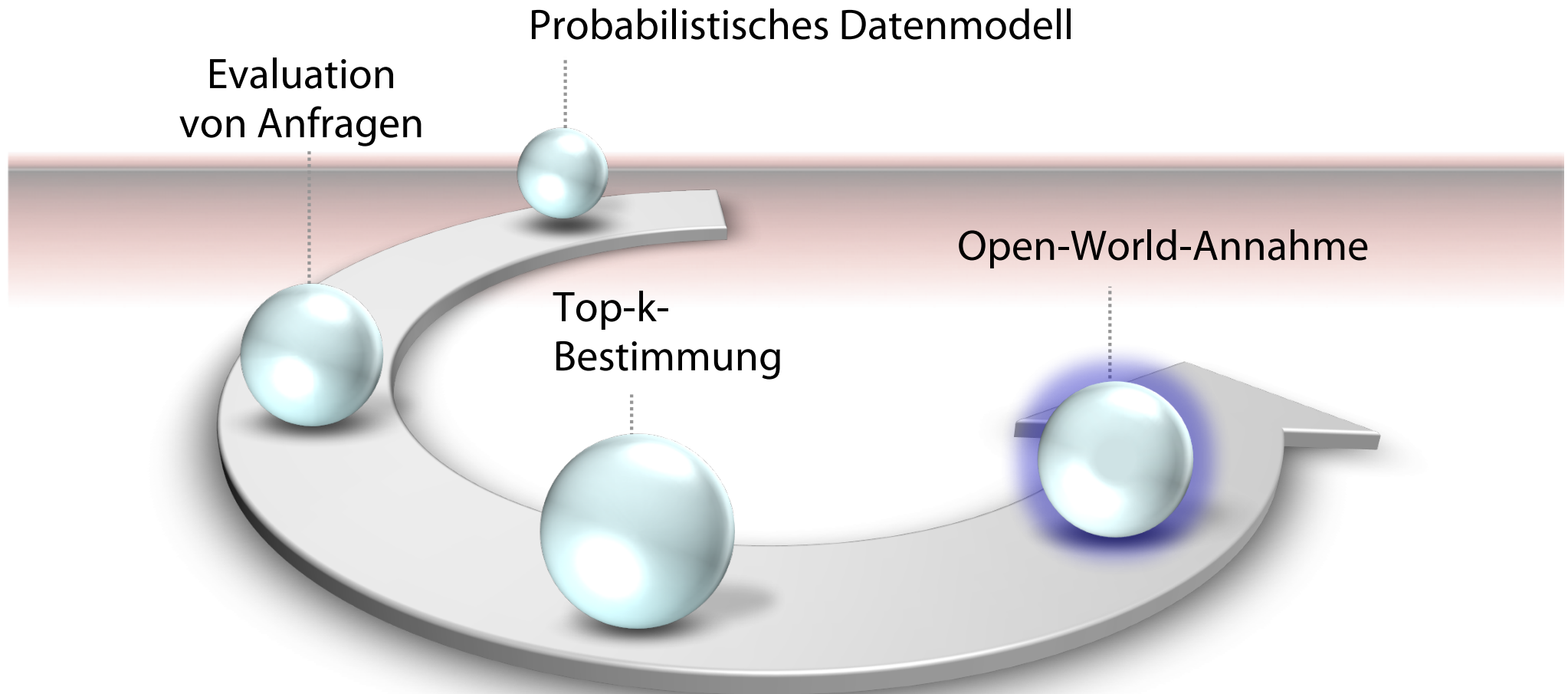
***S**mall DNFs per Output*

(Avg 3.03, Max 30)



Non-Standard-Datenbanken

Probabilistische Datenbanken



Danksagung

Die nachfolgenden Präsentationen sind aus einem Vortrag "Open World Probabilistic Databases" von Ismail Ilkan Ceylan, Adnan Darwiche und Guy Van den Broeck

Ismail İlkan Ceylan, Adnan Darwiche, and Guy Van den Broeck. Open-world probabilistic databases.
In *Proc. Knowledge Representation and Reasoning (KR'16)*, pp. 339-348, **2016**.



CWA vs OWA

Ein Flug taucht nicht in Flüge-Datenbank auf



Der Flug findet nie statt!



In einer Patientenakte ist eine Penicillin-Allergie nicht erwähnt



Der Patient leidet nicht an einer Penicillin-Allergie!

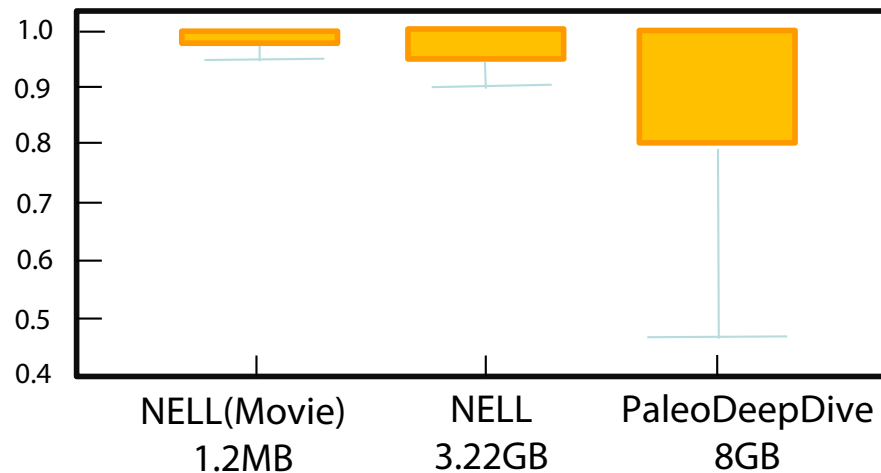


Einführung

- Unter der Annahme der geschlossenen Welt (**Closed-World Assumption, CWA**) wird als **falsch** angenommen, was nicht als wahr beweisbar ist
- Unter der Annahme der offenen Welt (**Open-World Assumption, OWA**) wird das, was nicht beweisbar ist, als **unbekannt** angenommen
- Das klassische PDB-Modell verwendet CWA
 - Fakten nicht in der DB haben Wahrscheinlichkeit 0
- **Offene PDBs:**
 - Fakten nicht in der DB haben "unbekannte" Wahrscheinlichkeit

Klassische Anwendung

- Faktenextraktion aus Texten (DeepDive, Nell, Yago)
- Fakten beschrieben mit Sicherheitswerten
 - Deutung: Wie wahrscheinlich ist es, dass Faktum wahr?
- Verteilung der Sicherheitswerte:



- Vervollständigung? Unmöglich!

Probleme bei CWA in PDBs: Beispiele

Couple		P	Inmovie		P
arquette	cox	0.6	w.Smith	ali	0.9
pitt	jolie	0.8	w.Smith	sharktable	0.8
thornton	jolie	0.6	j.james	ali	0.6
pitt	aniston	0.9	arquette	scream	0.7
kunis	kutcher	0.7	pitt	mr ms smith	0.5
			jolie	mr ms smith	0.7
			jolie	sharktable	0.9

$$Q_1(x, y) = \text{Inmovie}(x, z), \text{Inmovie}(y, z), \text{Couple}(x, y)$$

$$Q_2 = \text{Inmovie}(x, z), \text{Inmovie}(y, z), \text{Couple}(x, y)$$

$Q_1(\text{pitt}, \text{jolie})$

Q_2

Erwartet:

$$P(Q_1(\text{pitt}, \text{jolie})) < P(Q_2)$$

Gefunden:

$$P(Q_1(\text{pitt}, \text{jolie})) = P(Q_2) = 0.28$$

Probleme bei CWA in PDBs: Beispiele

Couple		P	Inmovie		P
arquette	cox	0.6	w.Smith	ali	0.9
pitt	jolie	0.8	w.Smith	sharktable	0.8
thornton	jolie	0.6	j.james	ali	0.6
pitt	aniston	0.9	arquette	scream	0.7
kunis	kutcher	0.7	pitt	mr ms smith	0.5
			jolie	mr ms smith	0.7
			jolie	sharktable	0.9

$$Q_1(x, y) = \text{Inmovie}(x, z), \text{Inmovie}(y, z), \text{Couple}(x, y)$$

$Q_1(\text{w. smith}, \text{j. james})$

$Q_1(\text{thornton}, \text{aniston})$

Erwartet:

$P(Q_1(\text{w. smith}, \text{j. james})) >$

$P(Q_1(\text{thornton}, \text{aniston}))$

Gefunden:

$P(Q_1(\text{w. smith}, \text{j. james})) =$

$P(Q_1(\text{thornton}, \text{aniston})) = 0$

Probleme bei CWA in PDBs: Beispiele

Couple		P	Inmovie		P
arquette	cox	0.6	w.Smith	ali	0.9
pitt	jolie	0.8	w.Smith	sharktable	0.8
thornton	jolie	0.6	j.james	ali	0.6
pitt	aniston	0.9	arquette	scream	0.7
kunis	kutcher	0.7	pitt	mr ms smith	0.5
			jolie	mr ms smith	0.7
			jolie	sharktable	0.9

$$Q_1(x, y) = \text{Inmovie}(x, z), \text{Inmovie}(y, z), \text{Couple}(x, y)$$

$Q_1(\text{w. smith}, \text{j. james})$

$\text{Inmovie}(x, y) \wedge \neg \text{Inmovie}(x, y)$

$\text{Inmovie}(x, y) \wedge \neg \text{Inmovie}(x, y)$ ist nicht erfüllbar, wird aber gleich bewertet wie $Q_1(\text{w. smith}, \text{j. james})$

OpenPDBs

Inmovie		P	Couple		P
w.Smith	ali	0.9	arquette	cox	0.6
w.Smith	sharktable	0.8	pitt	jolie	0.8
j.James	ali	0.6	thornton	jolie	0.6
arquette	scream	0.7	pitt	aniston	0.9
pitt	mr ms smith	0.5	kunis	kutcher	0.7
jolie	mr ms smith	0.7			
jolie	sharktable	0.9			

Offene Tupel für $\lambda = 0.3$:

(Inmovie(pitt, Troy), 0.3)

(Inmovie(hayek, Mission Impossible), 0.15)

Domain D



$$\lambda \in [0, 1]$$

OpenPDBs

- Eine offene PDB P_λ ist ein Paar (\mathcal{P}, λ) , wobei \mathcal{P} eine probabilistische DB ist und $\lambda \in [0, 1]$
- Für jedes Tupel nicht in \mathcal{P} fügen wir ein Tupel $\langle t : p \rangle$ hinzu für irgendein $p \in [0, \lambda]$
- P_λ induziert eine Menge von Wahrscheinlichkeitsverteilungen K_{P_λ}
 - Intervall-basierte Wahrscheinlichkeitsangaben für offene Tupel

OpenPDBs

- Das **Wahrscheinlichkeitsintervall**

einer Booleschen Anfrage Q an P_λ ist

$$K_{P_\lambda}(Q) = [P_{P_\lambda}(Q), \bar{P}_{P_\lambda}(Q)]$$

wobei:

$$P_{P_\lambda}(Q) = \min_{P \in KP_\lambda} P(Q) \quad , \quad \bar{P}_{P_\lambda}(Q) = \max_{P \in KP_\lambda} P(Q)$$

Beispiele - CWA vs OWA

$Q_3 = \text{Ac}(\text{patt}), \text{Workedfor}(\text{patt}, \text{hwicke}), \text{Di}(\text{hwicke})$

$Q_4 = \text{Ac}(\text{patt}), \text{Workedfor}(\text{patt}, x), \text{Di}(x)$

Erwartet:

$$\bar{P}(Q_4) > \bar{P}(Q_3)$$

NELL Datenbank:

Gefunden:

$$\bar{P}(Q_4) = \bar{P}(Q_3) = 0$$

In einer offenen Welt:

Gefunden: für $\lambda = 0.3$

$$\bar{P}(Q_4) = 0.82, \bar{P}(Q_3) = 0.51$$

Beispiele - CWA vs OWA

$$Q_5 = Ac(x), Inmovie(x, trainsp), Mov(trainsp), \neg Di(x)$$

Erwartet:

$$\bar{P}(Q_5) > 0$$

NELL Datenbank:

Found:

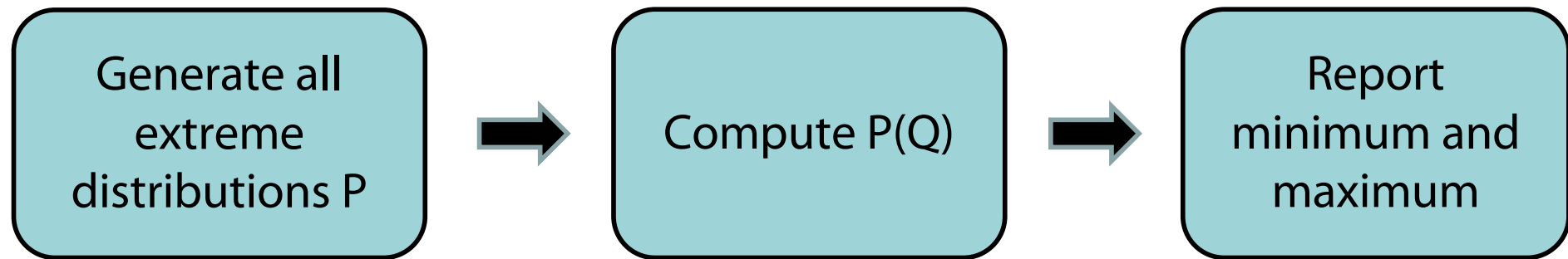
$$\bar{P}(Q_5) = 0$$

In einer offenen Welt:

Found: for $\lambda = 0.3$

$$\bar{P}(Q_5) = 0.78$$

Naiver Algorithmus



Exponentiell in der Anzahl der Open-World-Tupel

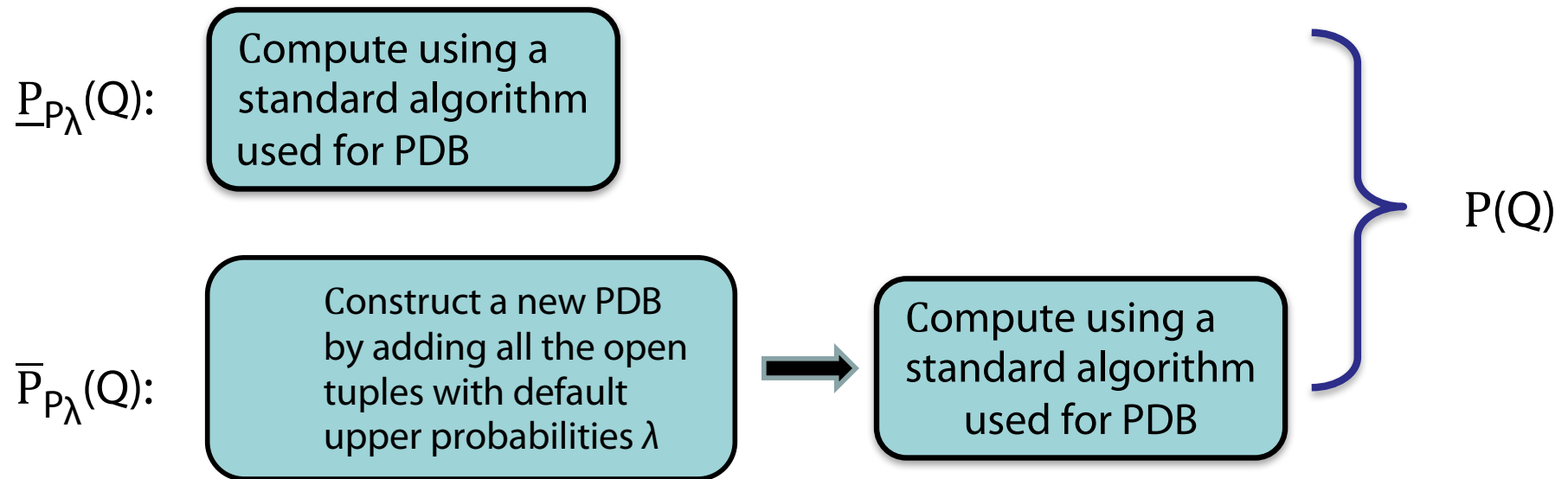
Naiver Algorithmus für UCQs

Beispiel

Exist m, a [Inmovie(a, m) AND Ac(a)]

- Obere Grenze: Jedes Tupel in Inmovie und Ac hat eine maximale Wahrscheinlichkeit
- Untere Grenze: Jedes Tupel in Inmovie und Ac hat eine minimale Wahrscheinlichkeit
- Monotonie für UCQs vereinfacht Auswertung

Naiver Algorithmus for UCQs



Bei der Auswertung von $\bar{P}_{P\lambda}(Q)$ wächst die PDB polynomiell in der Domänengröße

$Lift_0^R$ Algorithmus

CNF:

$$(R(x) \vee S(y, z)) \wedge (S(x, y) \vee (T(x)))$$

$Lift_0^R(Q, P, \lambda, D)$ - abbreviated by $L(Q, P)$

Input: CNF Q , probability tuples \mathcal{P} , threshold λ and domain D

Output: The upper probability $\bar{P}_{(p, \lambda)}(Q)$ over domain D

Step 0: Base of Recursion

if Q is a single ground atom t then

if $\langle t : p \rangle \in \mathcal{P}$ then return p else return λ

Step 1: Rewriting of Query

Convert Q to union of CNFs: $Q_{UCNF} = Q_1 \vee \dots \vee Q_m$

Example: $(R(x) \vee S(y, z)) \wedge (S(x, y) \vee (T(x)))$

$$\rightarrow ((R(x)) \wedge (S(x, y) \vee (T(x)))) \vee ((S(y, z)) \wedge (S(x, y) \vee (T(x))))$$



Lift₀^R Algorithmus

$Q_1 \perp Q_2$ if Q_1, Q_2 doesn't share any relational symbols

Step 2: Decomposable Disjunction

if $m > 1$ and $Q_{\text{UCNF}} = Q_1 \vee Q_2$ where $Q_1 \perp Q_2$ then

- $q_1 \leftarrow L(Q_1, P|_{Q_1})$ and $q_2 \leftarrow L(Q_2, P|_{Q_2})$
- return $1 - (1 - q_1) \cdot (1 - q_2)$

Step 3: Inclusion-Exclusion

if $m > 1$ but Q_{UCNF} has no independent Q_i then

- return $\sum_{s \subseteq \{1, \dots, m\}} (-1)^{|s|+1} \cdot L(\bigwedge_{i \in s} Q_i, P|_{\bigwedge_{i \in s} Q_i})$

Step 4: Decomposable Conjunction

if $Q = Q_1 \wedge Q_2$ where $Q_1 \perp Q_2$ then

- return $L(Q_1, P|_{Q_1}) \cdot L(Q_2, P|_{Q_2})$

Specifically, $\mathcal{P}|_Q$ denotes the subset of \mathcal{P} that talks about the predicates that appear in Q .

Lift₀^R Algorithmus

Step 5: Decomposable Universal Quantifier

if Q has a separator variable x then

- let T be all constants as x-argument in P
- $q_c \leftarrow \prod_{t \in T} L(Q[x/t], P \mid_{x=t})$
- $q_o \leftarrow L(Q[x/t], \emptyset)$ for some $t \in D \setminus T$
- return $q_c \cdot q_o^{|D \setminus T|}$

A **separator** is a variable that appears in every atom in Q

An **x-argument** is an argument that hold a separator variable x

Forall a,m [**Inmovie(a,m)** OR **Ac(a)**]

Inmovie		Ac
Pitt	Troy	Pitt
Butler	300	Cruise
deCaprio	Inception	Hayek

Step 6: Fail

$T = \{Pitt, Butler, deCaprio, Cruise, Heyek\}$

$Lift_0^R$ Algorithmus für UCQs

$Lift_0^R$ berechnet die Wahrscheinlichkeiten für UCQs

Daten-Komplexität:

Monotone UCQs werden auf OpenPDBs in PTime evaluiert, wenn sie auf PDBs in PTime evaluiert werden und umgekehrt.

Zusammenfassung

- Einfache PDBs erfüllen nicht (mehr) die heutigen Erwartungen (Vervollständigungen nicht möglich)
- OpenPDBs setzen die Annahme der offenen Welt um
- Vorgestellt wurde ein effizienter Algorithmus zur Auswertung von UCQs in OpenPDBs
- Nächste Schritte:
 - Erhöhung der Ausdrucksstärke ($>$ UCQs)
 - Unendliche Domäne

Ismail Ilkan Ceylan, Adnan Darwiche and Guy Van den Broeck. Open-World Probabilistic Databases: An Abridged Report, In Proceedings of the 26th International Joint Conference on Artificial Intelligence (IJCAI), Sister Conference Best Paper Track, **2017**.

